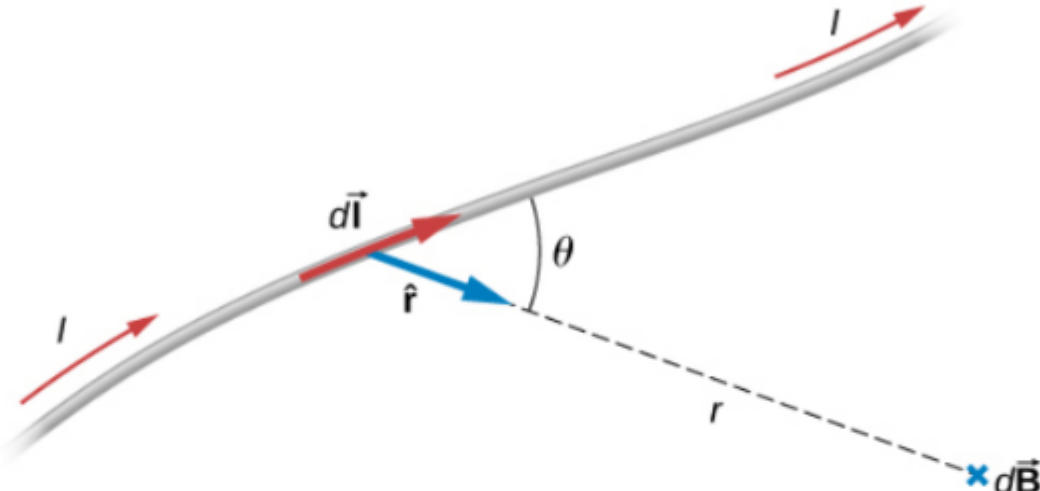


## Uppsprettur segulsviðs

$$d\vec{B} = \frac{\mu_0}{4\pi} \frac{Id\vec{l} \times \hat{r}}{r^2}.$$

$$\mu_0 = 4\pi \cdot 10^{-7} \frac{\text{Tm}}{\text{A}}$$

$$dB = \frac{\mu_0}{4\pi} \frac{Idl \sin\theta}{r^2}$$



A current element  $Id\vec{l}$  produces a magnetic field at point  $P$  given by the Biot-Savart law.

openstax

### Biot-Savart law

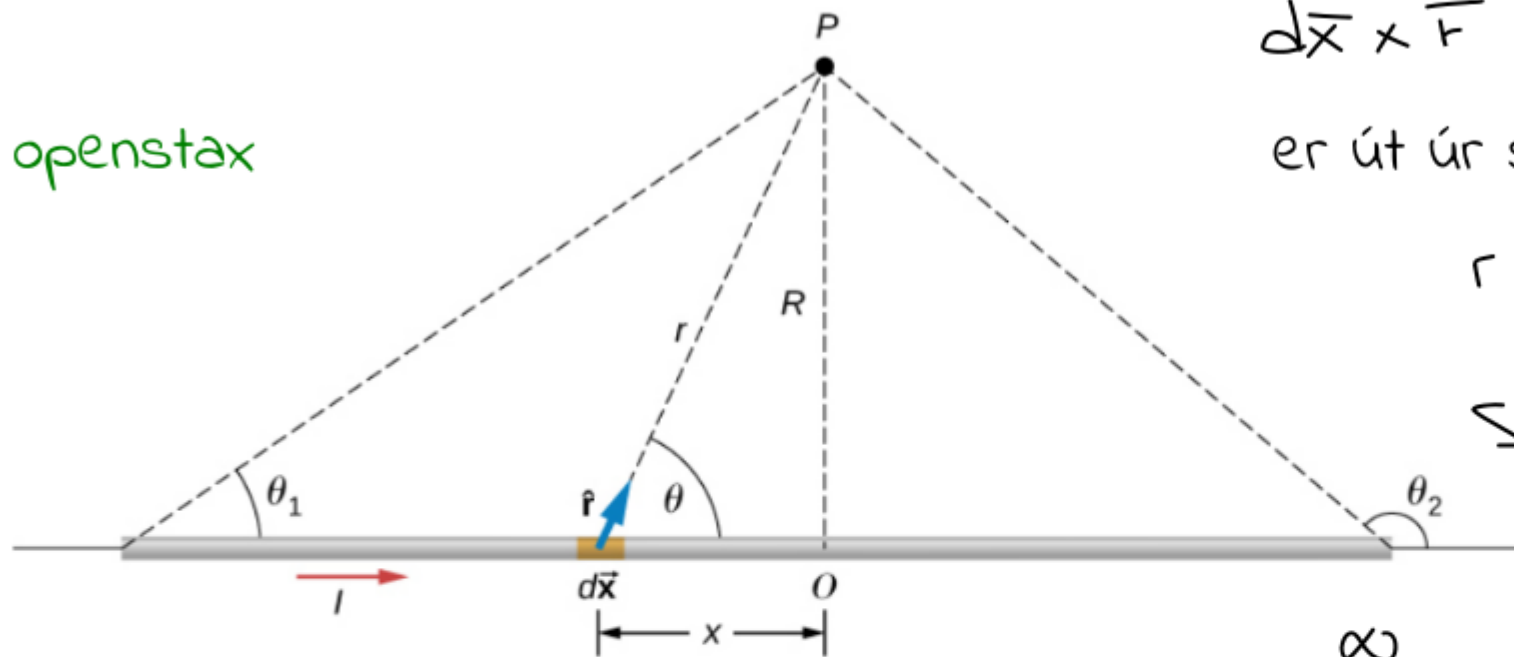
The magnetic field  $\vec{B}$  due to an element  $d\vec{l}$  of a current-carrying wire is given by

$$\vec{B} = \frac{\mu_0}{4\pi} \int_{\text{wire}} \frac{I d\vec{l} \times \hat{r}}{r^2}.$$

12.4

## Segulsvið þunns beins leiðara

openstax



$$d\vec{x} \times \vec{r}$$

er út úr síðunni fyrir P

$$r = \sqrt{x^2 + R^2}$$

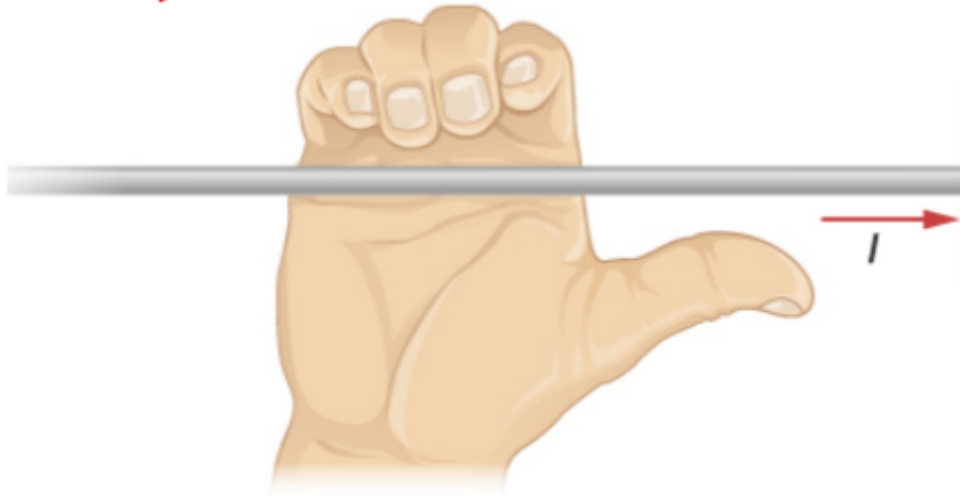
$$\sin \theta = \frac{R}{\sqrt{x^2 + R^2}}$$

$$\underline{B} = \frac{\mu_0 I}{4\pi} \int_{-\infty}^{\infty} \frac{\sin \theta \, dx}{r^2} = \frac{\mu_0 I}{4\pi} \int_{-\infty}^{\infty} \frac{R \, dx}{(x^2 + R^2)^{3/2}}$$

$$= \frac{\mu_0 I}{2\pi} \int_0^{\infty} \frac{R \, dx}{(x^2 + R^2)^{3/2}} = \frac{\mu_0 I}{2\pi R} \left\{ \frac{x}{(x^2 + R^2)^{1/2}} \right\}_0^{\infty} = \frac{\mu_0 I}{2\pi R}$$

3

$$\vec{B} = \frac{\mu_0 I}{2\pi R} \hat{g}$$



openstax

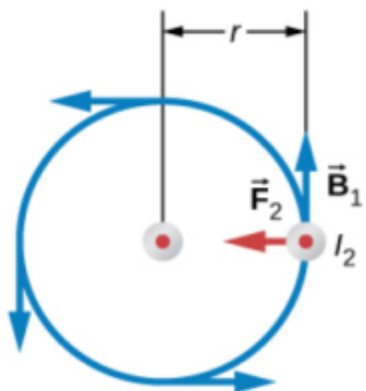
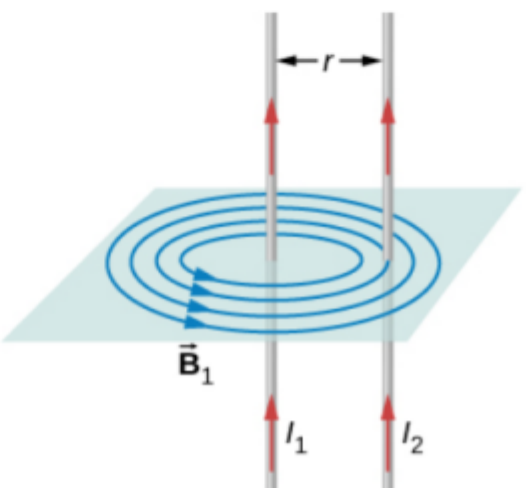
Segulkrafturinn milli tveggja samhlíða leiðara

Á leiðara 2 verkar

$$F_2 = I_2 l B_1 = \frac{\mu_0 l I_1 I_2}{2\pi r}$$

$$\rightarrow \frac{F}{l} = \frac{\mu_0 I_1 I_2}{2\pi r}$$

Tengsl við orku



$$B_1 = \frac{\mu_0 I_1}{2\pi r}$$

## Segulsviðið á samhverfuás lykkju

$$dB = \frac{\mu_0}{4\pi} \frac{I dl \sin(\frac{\pi}{2})}{r^2}$$

$$= \frac{\mu_0}{4\pi} \frac{I dl}{y^2 + R^2}$$

$$\vec{B} = \hat{j} \oint dB \cos\theta$$

$$= \hat{j} \frac{\mu_0 I}{4\pi} \oint \frac{\cos\theta dl}{y^2 + R^2}$$

$$\cos\theta = \frac{R}{\sqrt{y^2 + R^2}}$$



$$\vec{B} = \hat{j} \frac{\mu_0 I R}{4\pi (y^2 + R^2)^{3/2}} \oint dl = \frac{\mu_0 I R^2}{2(y^2 + R^2)^{3/2}} \hat{j}$$

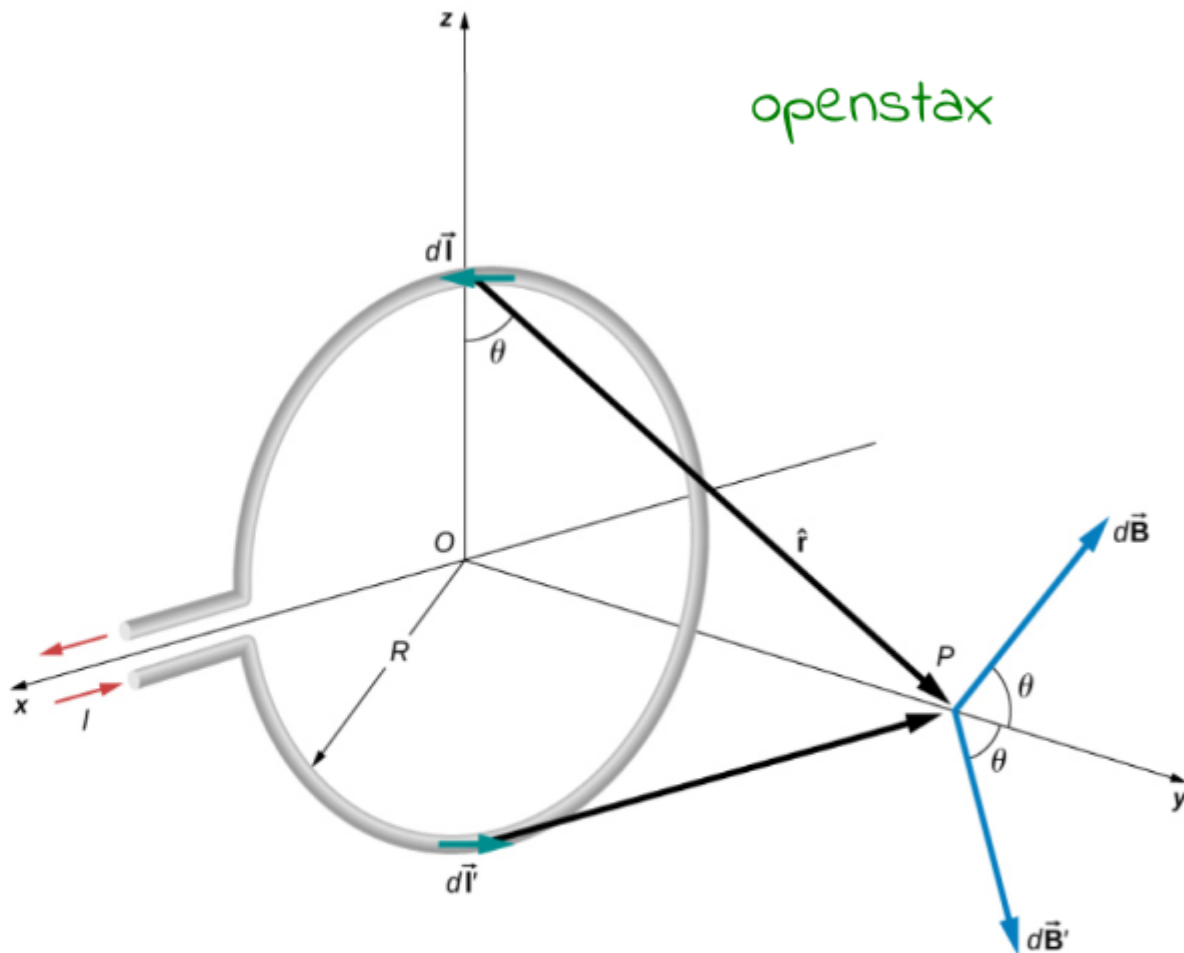


Figure 12.11 Determining the magnetic field at point P along the axis of a current-carrying loop of wire.

því

$$\oint dl = 2\pi R$$

Notum  $\bar{\mu} = IA \hat{n} = I\pi R^2 \hat{j}$  hér

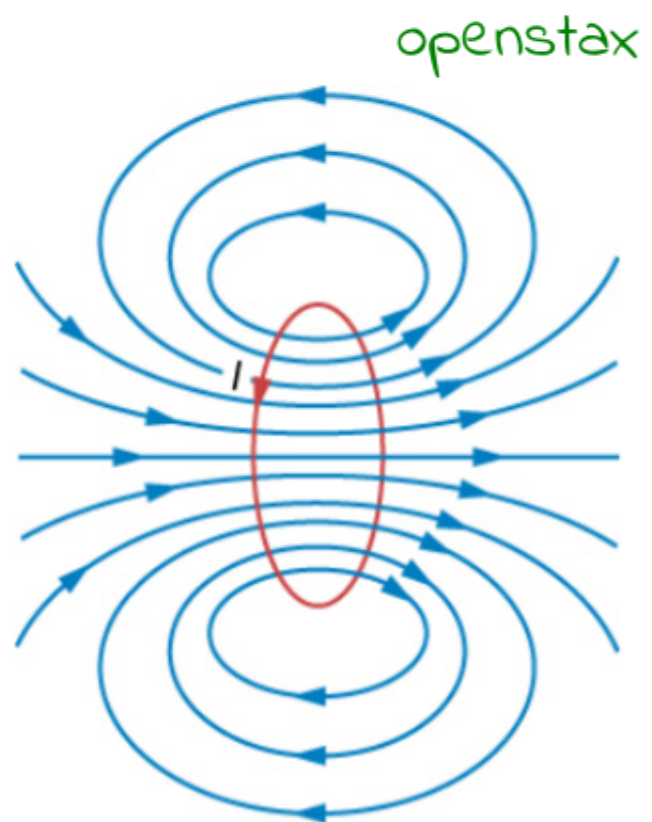
í miðju lykkjunnar,  $y = 0$

$$\bar{B} = \frac{\mu_0 I}{2R} \hat{j}$$

og langt frá lykkjunni,  $y \gg R$ , fæst

$$\bar{B} = \frac{\mu_0 \bar{\mu}}{2\pi R^3}$$

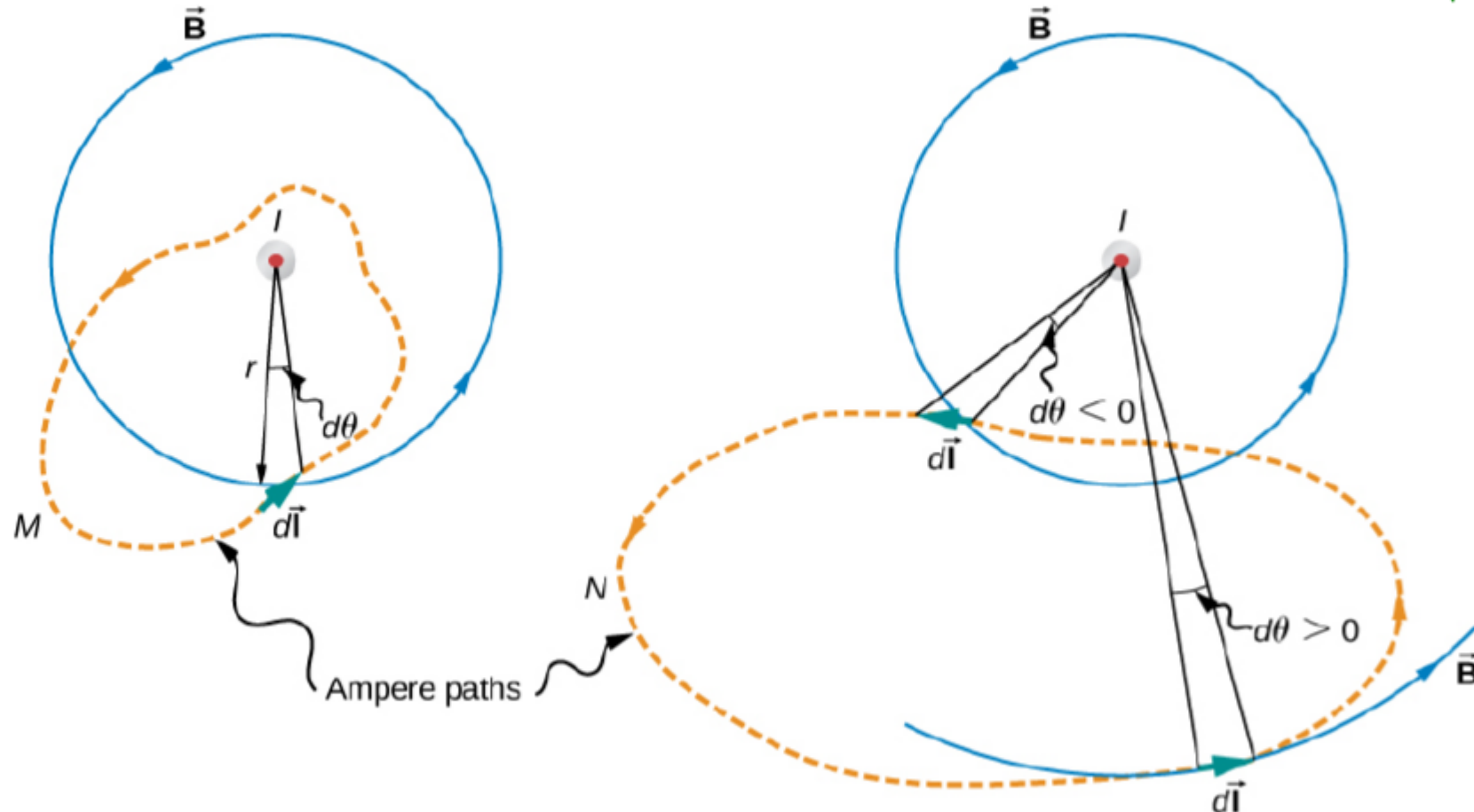
sem er svið segulviskauts



## Lögmál Amperes

Segulsviðið B er ekki geymið vigursvið

openstax



Hægt er að sýna að

$$\oint_N \overline{B}_0 \cdot d\bar{l} = 0 \quad , \quad \text{en} \quad \oint_M \overline{B}_0 \cdot d\bar{l} = \mu_0 I$$

## Ampère's law

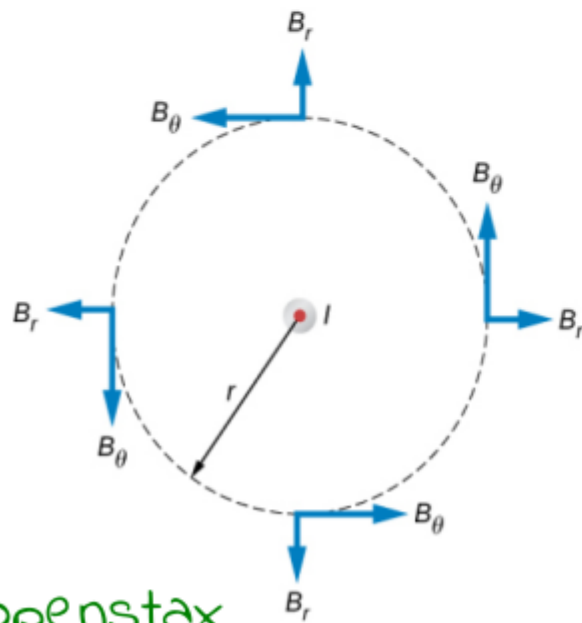
Over an arbitrary closed path,

$$\oint \vec{B} \cdot d\vec{l} = \mu_0 I$$

12.23

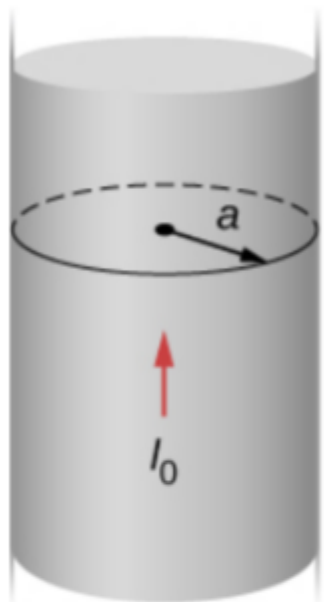
where  $I$  is the total current passing through any open surface  $S$  whose perimeter is the path of integration. Only currents inside the path of integration need be considered.

Beinn langur vir



$$\begin{aligned} \oint \bar{B} \cdot d\bar{l} &= \oint \bar{B}_\theta \cdot d\bar{l} \\ &= 2\pi r B = \mu_0 I \\ \rightarrow \bar{B} &= \frac{\mu_0 I}{2\pi r} \hat{\theta} \end{aligned}$$

Ex. 12.7, þykkur leiðari með fast straumpykki



utan vírs

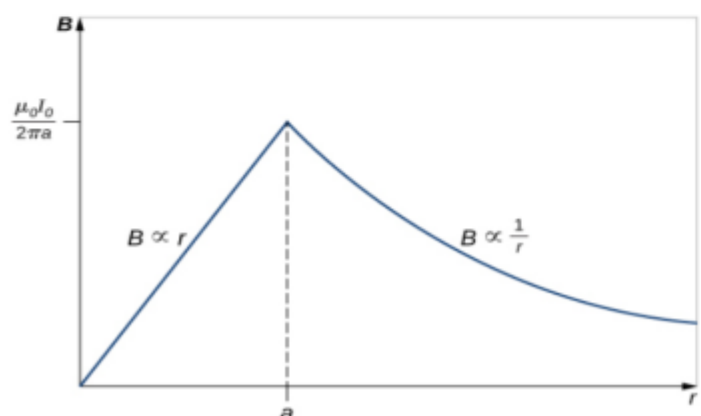
$$\oint \bar{B} \cdot d\bar{l} = \oint B dl$$

$$= B 2\pi r = \mu_0 I$$

$$\rightarrow \bar{B} = \frac{\mu_0 I_0}{2\pi r} \hat{\theta}, \quad r > a$$

innan vírs

$$I_{enc} = \frac{\Gamma^2}{a^2} I_0 \rightarrow \bar{B} = \frac{\mu_0 I_0}{2\pi} \frac{\Gamma}{a^2} \hat{\theta} \quad r \leq a$$



openstax

## Seguleiginleikar efnis

Allt efni er veikt andseglandi (diamagnetic), líka við!

Sígild eðlisfræði nægir ekki til að skýra seguleiginleika efnis (heldur ekki andseglun)

Rafeindir bera segultvískautsvægi í hlutfalli við spuna þeirra og hverfibunga á hvelum atóma. Atóm geta því haft segulvægi, sérstaklega um mitt lotukerfið vegna skiptakrafts rafeinda í efri hvelum

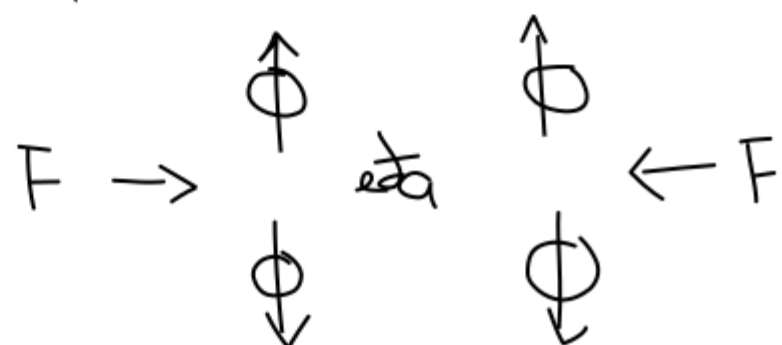
Seglun er til í mörgum flokkum, við minnumst á **andseglun** (diamagnetism), **meðseglun** (paramagnetism), **járnseglun** (ferromagnetism) og **andjárnseglun** (antiferromagnetism)

Fráhrindikraftur Coulombs og

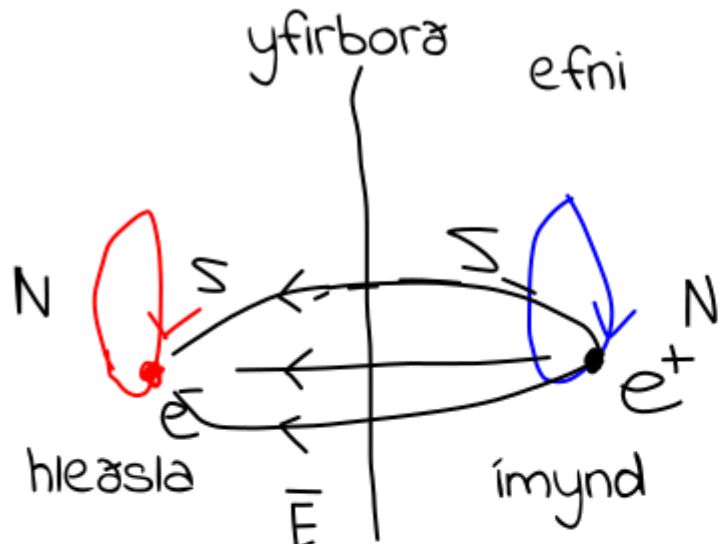
$$\Sigma_z = +\frac{\hbar}{2}$$

$$\Sigma_z = -\frac{\hbar}{2}$$

skiptakraftur - aðráttarkraftur



## Andseglun, einfölduð sígild skýring



## Meðseglun

Ytrasvið raðar upp tvískautum en of veikur skiptakraftur nær ekki að viðhalda uppröðun eftir að ytra sviðið hverfur

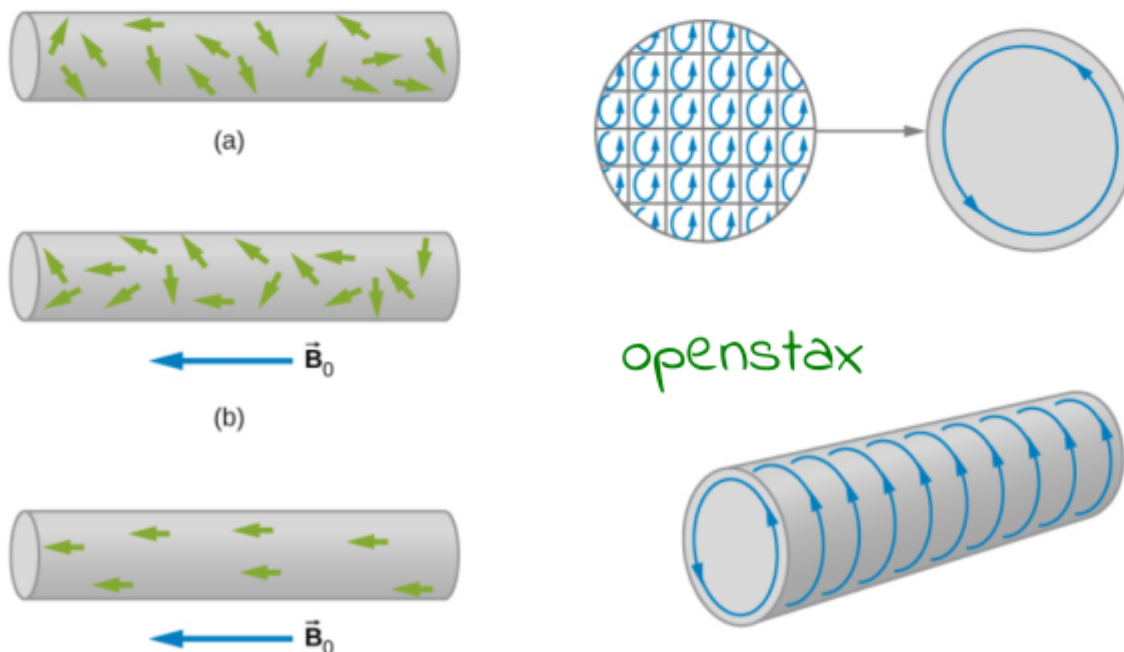
Heildarsvið  $\bar{B}$ , ytrasvið  $\bar{B}_0$ , innra svið  $\bar{B}_m$  - svörum við  $\bar{B}_0$ .

$$\bar{B} = \bar{B}_0 + \bar{B}_m$$

$$\bar{B} = \chi \bar{B}_0$$

segulviðtak

$$\bar{B} = (1+\chi) \bar{B}_0$$



fyrir einfalda línulega andseglun eða meðseglun fæst að

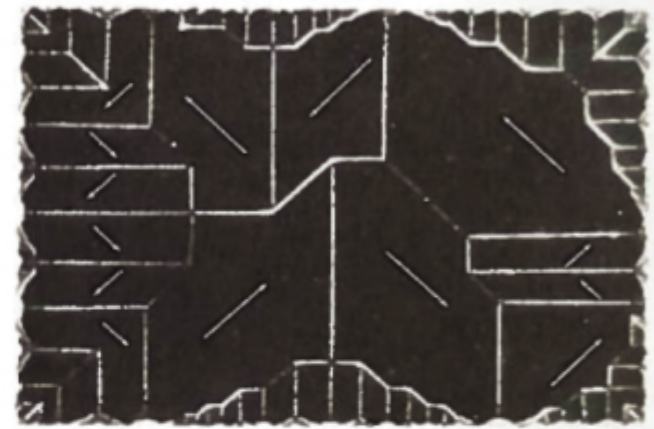
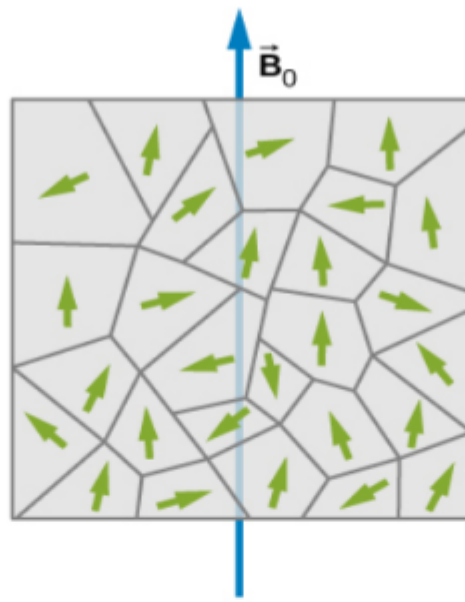
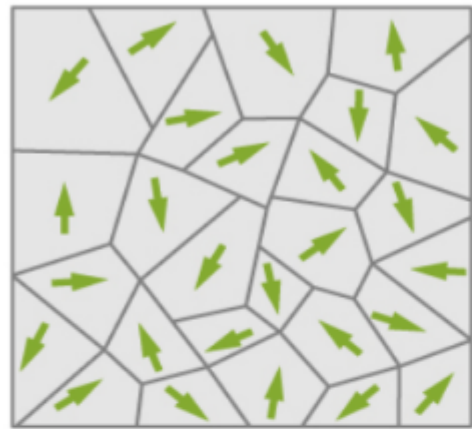
$$\mu = (1 + \chi) \mu_0$$

$\chi$  getur haft annaðhvort formerkið og í flóknari eftum er viðtakið ekki fasti, en flókið fall af  $B$  og  $T$

Paramagnetic Materials	$\chi$	Diamagnetic Materials	$\chi$
Aluminum	$2.2 \times 10^{-5}$	Bismuth	$-1.7 \times 10^{-5}$
Calcium	$1.4 \times 10^{-5}$	Carbon (diamond)	$-2.2 \times 10^{-5}$
Chromium	$3.1 \times 10^{-4}$	Copper	$-9.7 \times 10^{-6}$
Magnesium	$1.2 \times 10^{-5}$	Lead	$-1.8 \times 10^{-5}$
Oxygen gas (1 atm)	$1.8 \times 10^{-6}$	Mercury	$-2.8 \times 10^{-5}$
Oxygen liquid (90 K)	$3.5 \times 10^{-3}$	Hydrogen gas (1 atm)	$-2.2 \times 10^{-9}$
Tungsten	$6.8 \times 10^{-5}$	Nitrogen gas (1 atm)	$-6.7 \times 10^{-9}$
Air (1 atm)	$3.6 \times 10^{-7}$	Water	$-9.1 \times 10^{-6}$

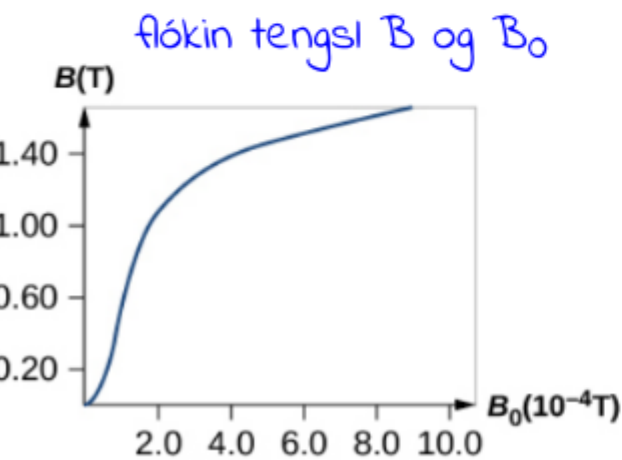
**Table 12.2** Magnetic Susceptibilities \*Note: Unless otherwise specified, values given are for room temperature.

# Járnseglun

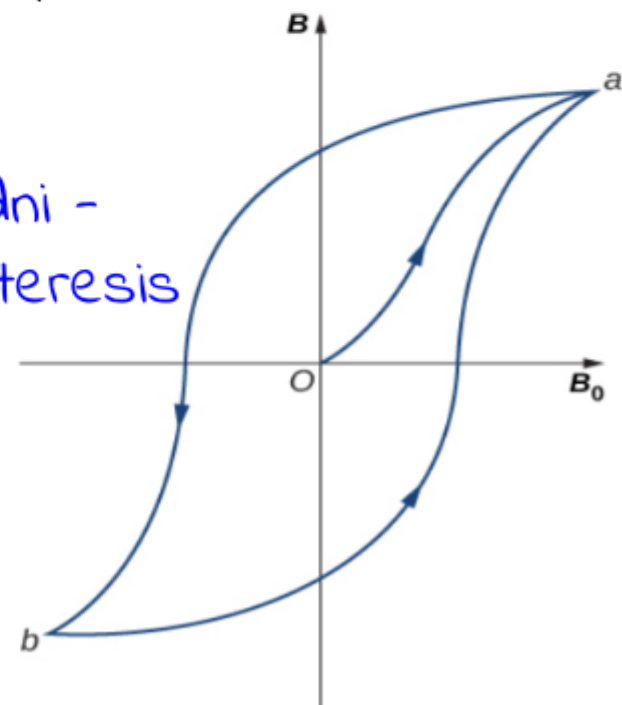


openstax

Sterkur skiptakraftur raðar segultvískautum (spunum..) í óðul (domains)

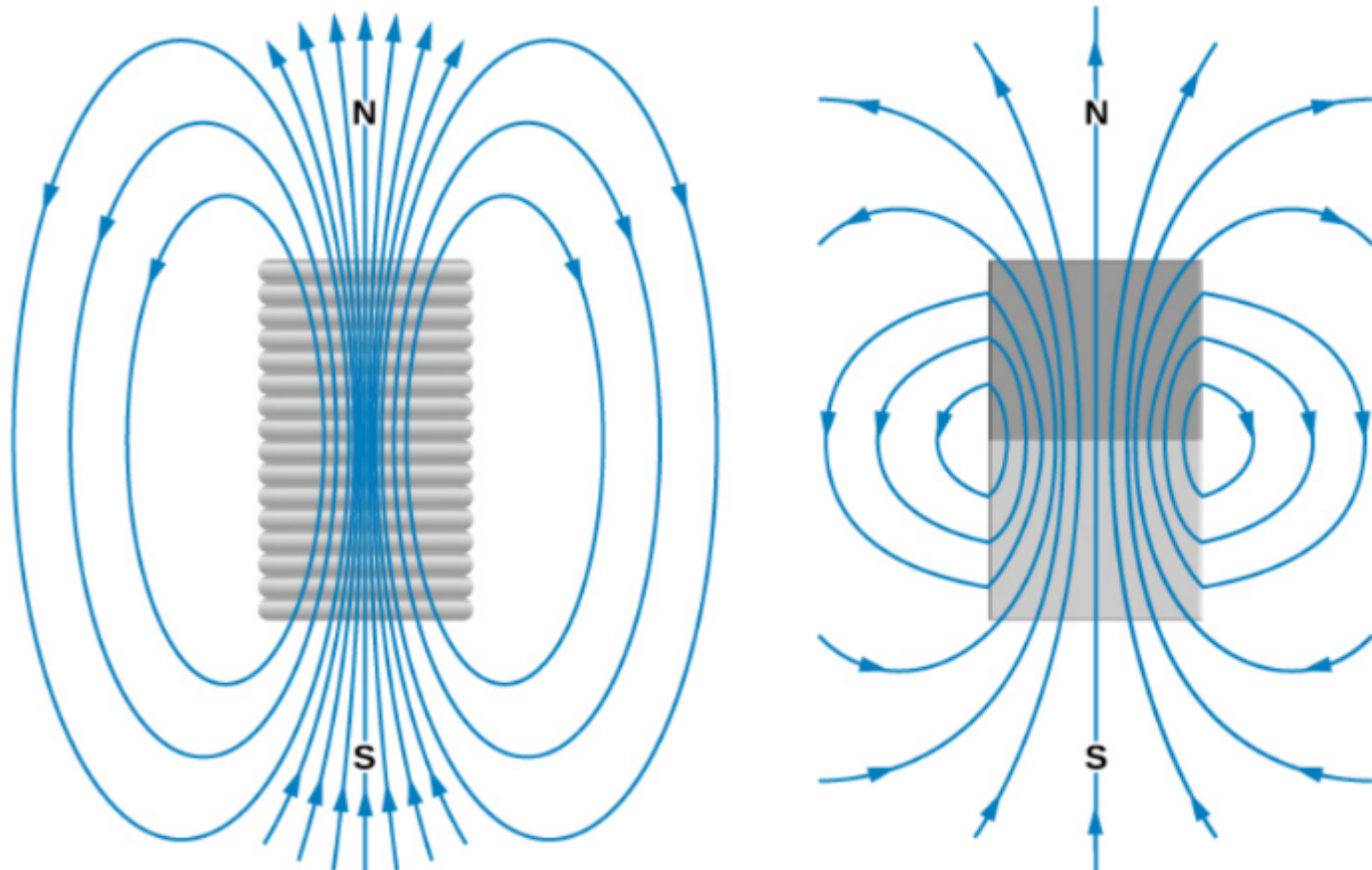


Heldni -  
hysteresis



The magnetic field  $B$  in annealed iron as a function of the applied field  $B_0$ .

Samanburður segulsvið spólu og síseguls



openstax

Figure 12.27 Comparison of the magnetic fields of a finite solenoid and a bar magnet.

Segulsviðslínurnar enda og byrja hvergi -- segultvískaut

## Spurningar - samanburður

Höfum lögmál Coulombs

og fyrir þyngdarkraftinn

$$|\bar{F}_e| = \frac{1}{4\pi\epsilon_0} \frac{|q_1 q_2|}{r^2}$$

$$|\bar{F}_g| = G \frac{|m_1 m_2|}{r^2}$$

Sama lögmál, um báða kraftana gildir lögmál Gauß --->  
 Hvar er segulþáttur þyngdarsviðsins?

Til gamans:

Hve langt vor samanburðer ó þyngdarföldi  
og rafssagulfröldi?

B

Maxwell

$$\nabla \cdot \bar{E} = \frac{\rho}{\epsilon_0}$$

$$\nabla \cdot \bar{B} = 0$$

$$\nabla \times \bar{E} = - \frac{\partial}{\partial t} \bar{B}$$

$$\nabla \times \bar{H} = \bar{J} + \frac{\partial}{\partial t} \bar{D}$$

$$\bar{D} = \epsilon \bar{E}$$

$$\bar{H} = \frac{1}{\mu} \bar{B}$$

$$\bar{F}_e = \rho (\bar{E} + \bar{U} \times \bar{B})$$

Eru vökvi höldug og ekki  
vökvi stöðu fröðina

Almennum svíðs jöfuv Einstein ->  
gerðar linubögur

$$\nabla \cdot \bar{g} = - 4\pi G S$$

$$\nabla \cdot \bar{b} = 0$$

$$\nabla \times \bar{g} = - \frac{\partial}{\partial t} \bar{b}$$

$$\nabla \times \bar{b} = - \frac{4\pi G}{c^2} \bar{J}_g + \frac{1}{c^2} \frac{\partial}{\partial t} \bar{g}$$

$$\bar{F}_g = m(\bar{g} + 4\bar{U} \times \bar{b})$$

segulhætti þyngdar svíðs

GPS

þyngdarbylgjur?